

Правительство Российской Федерации  
Федеральное государственное бюджетное образовательное учреждение  
высшего профессионального образования  
«Санкт-Петербургский государственный университет»  
Кафедра статистического моделирования

Миллер Анастасия Александровна

НЕКОТОРЫЕ МЕТОДЫ ОЦЕНКИ СТОИМОСТИ АМЕРИКАНСКИХ  
ОПЦИОНОВ

Отчет по научно-исследовательской работе

Научный руководитель:  
д. ф.-м. н., профессор С. М. Ермаков

Санкт-Петербург  
2015

# Оглавление

Введение . . . . .	3
Глава 1. Задача оценки американского опциона в терминах тропической математики . . . . .	4
Глава 2. Сравнение с методом стохастической сетки . . . . .	7
Заключение . . . . .	9
Список литературы . . . . .	10

## Введение

Задачами семестра являлись формулировка проблемы на языке тропической математики и проведение детального сравнения разрабатываемого метода с методом стохастической сетки. Первая глава посвящена переформулировке задачи, во второй представлено краткое описание метода стохастической сетки и проведён анализ преимуществ и недостатков этого метода по сравнению с разрабатываемым.

## Глава 1

## Задача оценки американского опциона в терминах тропической математики

Для Американского опциона с функцией выплат  $h_t(X_t)$ , где  $X_t$  — состояние актива, на который выписан опцион, в момент времени  $t \in [0; T]$ , задача оптимального исполнения — это задача о нахождении

$$V = \max_{\tau} E h_{\tau}(X_{\tau}). \quad (1.1)$$

При дискретизации (1.1) (принятии предположения о том, что опцион может быть исполнен только в некотором конечном числе моментов времени  $(\{t_i\}_{i=0}^m \in [0; T], t_0 = 0, t_m = T)$ ) задача обретает эквивалентную формулировку о нахождении  $V_0(X_0)$  для

$$\begin{aligned} V_m(x) &= h_m(x), \\ V_{i-1}(x) &= \max \{h_{i-1}(x), E[V_i(X_i) | X_{i-1} = x]\}. \end{aligned} \quad (1.2)$$

В [1] были предложены оценки для  $V_0(X_0)$  (см. также [2]). Оценка сверху:

$$\begin{aligned} \hat{V}_m^{j_1 \dots j_m} &= h_m(X_m^{j_1 \dots j_m}), \\ \hat{V}_i^{j_1 \dots j_i} &= \max \left\{ h_i(X_i^{j_1 \dots j_i}), \frac{1}{b} \sum_{j=1}^b \hat{V}_{i+1}^{j_1 \dots j_i j} \right\}. \end{aligned} \quad (1.3)$$

Оценка снизу:

$$\begin{aligned} \hat{v}_m^{j_1 j_2 \dots j_m} &= h(X_m^{j_1 j_2 \dots j_m}), \\ \hat{v}_{ik}^{j_1 j_2 \dots j_i} &= \begin{cases} h(X_i^{j_1 j_2 \dots j_i}), & \text{если } \frac{1}{b-1} \sum_{j=1, j \neq k}^b \hat{v}_{i+1}^{j_1 j_2 \dots j_i j} \leq h(X_i^{j_1 j_2 \dots j_i}), \\ \hat{v}_{i+1}^{j_1 j_2 \dots j_i k}, & \text{иначе} \end{cases} \\ \hat{v}_i^{j_1 j_2 \dots j_i} &= \frac{1}{b} \sum_{k=1}^b \hat{v}_{ik}^{j_1 j_2 \dots j_i}. \end{aligned} \quad (1.4)$$

Для обеих оценок доказана состоятельность и асимптотическая несмещённость. Обозначения  $X_i^{j_1 \dots j_i}$  соответствуют путям в дереве, пример которого приведён на рис. 1.1.

Рассмотрим оценку сверху (1.3) на небольшом примере:  $b = 3, m = 3$ . Обозначим операцию  $+$  как  $\odot$  и  $\max$  как  $\oplus$ . Будем также считать, что дерево состояний актива уже

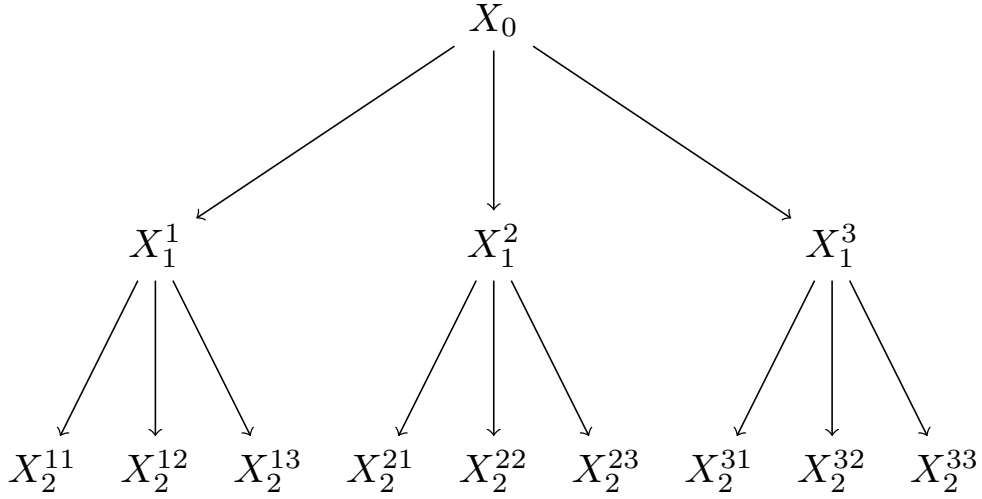


Рис. 1.1. Дерево состояний актива

смоделировано и обозначим  $h_i(X_i^{j_1 \dots j_i}) = h_{j_1 \dots j_i}$ . Тогда

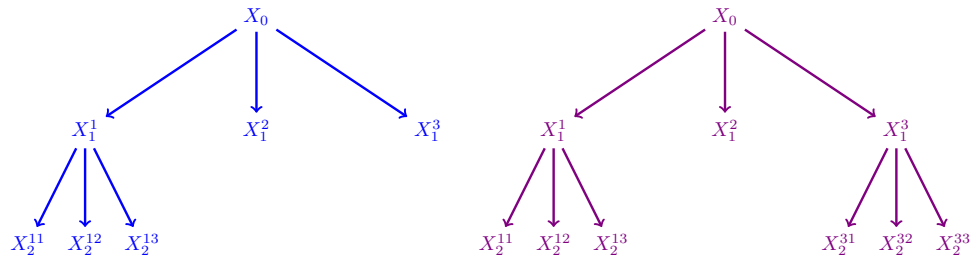
$$\begin{aligned}
 \hat{V}_1 = & h_0 \oplus \left( \frac{h_1}{3} \odot \frac{h_2}{3} \odot \frac{h_3}{3} \right) \oplus \\
 & \oplus \left( \frac{h_1}{3} \odot \frac{h_2}{3} \odot \left( \frac{h_{31}}{9} \odot \frac{h_{32}}{9} \odot \frac{h_{33}}{9} \right) \right) \oplus \\
 & \oplus \left( \frac{h_1}{3} \odot \left( \frac{h_{21}}{9} \odot \frac{h_{22}}{9} \odot \frac{h_{23}}{9} \right) \odot \frac{h_3}{3} \right) \oplus \\
 & \oplus \left( \left( \frac{h_{11}}{9} \odot \frac{h_{12}}{9} \odot \frac{h_{13}}{9} \right) \odot \frac{h_2}{3} \odot \frac{h_3}{3} \right) \oplus \\
 & \oplus \left( \left( \frac{h_{11}}{9} \odot \frac{h_{12}}{9} \odot \frac{h_{13}}{9} \right) \odot \left( \frac{h_{21}}{9} \odot \frac{h_{22}}{9} \odot \frac{h_{23}}{9} \right) \odot \frac{h_3}{3} \right) \oplus \\
 & \oplus \left( \frac{h_1}{3} \odot \left( \frac{h_{21}}{9} \odot \frac{h_{22}}{9} \odot \frac{h_{23}}{9} \right) \odot \left( \frac{h_{31}}{9} \odot \frac{h_{32}}{9} \odot \frac{h_{33}}{9} \right) \right) \oplus \\
 & \oplus \left( \left( \frac{h_{11}}{9} \odot \frac{h_{12}}{9} \odot \frac{h_{13}}{9} \right) \odot \frac{h_2}{3} \odot \left( \frac{h_{31}}{9} \odot \frac{h_{32}}{9} \odot \frac{h_{33}}{9} \right) \right) \oplus \\
 & \oplus \left( \left( \frac{h_{11}}{9} \odot \frac{h_{12}}{9} \odot \frac{h_{13}}{9} \right) \odot \left( \frac{h_{21}}{9} \odot \frac{h_{22}}{9} \odot \frac{h_{23}}{9} \right) \odot \left( \frac{h_{31}}{9} \odot \frac{h_{32}}{9} \odot \frac{h_{33}}{9} \right) \right)
 \end{aligned}$$

В общем виде это выражение выглядит так:

$$\hat{V}_0 = \oplus_{\gamma \in \Gamma} A(\gamma), \quad (1.5)$$

где  $\Gamma$  — полное дерево глубины  $m$ , т.е. дерево, у всех вершин которого, находящихся на меньшем, чем  $m$ , расстоянии от корня, есть ровно  $b$  дочерних вершин, а у вершин на расстоянии  $m$  детей нет,  $\gamma$  — поддерево  $\Gamma$ , у каждой вершины которого либо 0, либо  $b$  дочерних (примеры таких деревьев можно увидеть на рис.1.2),

$$A(\gamma) = \odot_{X \in \gamma} \frac{h_j(X)}{b^j}, \text{ где } j \text{ — расстояние от вершины } X \text{ до корня.} \quad (1.6)$$

Рис. 1.2. Примеры поддеревьев  $\gamma$ 

Таким образом, мы получаем выражение для верхней оценки опциона, построенное по отдельным поддеревьям  $\gamma \in \Gamma$ . Если мы докажем, что для получения состоятельной оценки максимума по всем  $\gamma$  необязательно подсчитывать  $A(\gamma)$  для всех  $\gamma$ , мы добьёмся существенного снижения временных затрат.

## Глава 2

### Сравнение с методом стохастической сетки

Метод стохастической сетки излагается по [3] и (неопубликованной) [4].

Метод стохастической сетки также предлагает оценки сверху и снизу для решения (1.2), но принцип построения оценок несколько отличается от рассматриваемых мною оценок по случайному дереву.

Для описания состояния актива в моменты времени  $t_1, \dots, t_m$  задаются плотности распределения случайной величины, характеризующей состояние актива, в зависимости от времени, обозначим их  $g_i(\cdot)$ . Для каждого момента  $t \in \{t_i\}_{i=1}^m$  генерируется  $b$  точек  $X_t^1, \dots, X_t^b$  в соответствии с этой плотностью. Оценка сверху по полученной сетке определяется как

$$\begin{aligned}\hat{Q}_T(X_i) &= h_T(X_T^i), \\ \hat{Q}_t(X_i) &= \max \left\{ h_t(X_t^i), \frac{1}{b} \sum_{j=1}^b \hat{Q}_{t+1}(X_j) w_t(X_t^i, X_{t+1}^j) \right\},\end{aligned}\tag{2.1}$$

где  $w_t(X_t^i, X_{t+1}^j)$  — вес, сопоставляемый переходу из  $X_t^i$  в  $X_{t+1}^j$ .  $\hat{Q}_0^0$  является состоятельной и асимптотически несмещённой оценкой сверху для истинной цены опциона при условии, что веса  $w_t$  выбраны должным образом. Основная идея, поясняющая выбор весов, заключается в следующем рассуждении:

$$\begin{aligned}\mathbb{E}(Q_{t+1}(X_{t+1}) | X_t = x) &= \int Q_{t+1}(u) f(x, t, u) du = \\ &= \int Q_{t+1}(u) \frac{f(x, t, u)}{g_{t+1}(u)} g_{t+1}(u) du = \\ &= \mathbb{E} \left( Q_{t+1}(X_{t+1}) \frac{f(x, t, u)}{g_{t+1}(u)} \right),\end{aligned}$$

где  $f(x, t, u)$  — переходная плотность, плотность вероятности того, что актив из состояния  $x$  в момент  $t$  перейдёт в состояние  $u$  к моменту  $t + 1$ . Таким образом, веса компенсируют неточность, порождённую моделированием состояний базового актива без учёта траекторий его развития. Для оценок по случайным деревьям эти веса не нужны, так как плотность распределения  $X_{k+1}^{j_1 \dots j_{k+1}} | X_k^{j_1 \dots j_k} = x$  всегда учитывает траекторию, по которой актив попадает в состояние  $X_{k+1}^{j_1 \dots j_{k+1}}$  наличием условия в правой

части. Следовательно, ряд проблем, вызываемых поиском подходящей плотности  $g$  и весов  $w$ , которые бы обеспечили отсутствие экспоненциального роста дисперсии (решение этой проблемы и предлагается в [4]), пропадает сам собой.

Для построения оценки снизу моделируется ещё одна независимая траектория для базового актива, но сама оценка использует результаты, полученные при построении оценки сверху. Пусть эта независимая траектория – это  $X_0, \dots, X_m$ . Тогда правило

$$\hat{\tau} = \min \left\{ t \in \{t_i\}_{i=1}^m \mid h_t(X_t) \geq \hat{Q}_t(X_t) \right\}$$

является субоптимальным правилом исполнения опциона (все моменты  $\hat{\tau}$  являются оптимальными, но не все оптимальные моменты находятся этой политикой), следовательно, оценка

$$\hat{q} = h_{\hat{\tau}}(X_{\hat{\tau}}) \tag{2.2}$$

является оценкой снизу для истинной стоимости опциона. Оценка  $\hat{q}$  не имеет очевидных аналогов с оценкой снизу по случайному дереву (1.4), но на её основе, возможно, получится построить оценку снизу, удобно выражающуюся через операторы тропической математики.



## Заключение

Получена формулировка задачи как задачи поиска максимума по всем возможным под-деревьям. Такая формулировка позволяет рассчитывать на то, что при применении соответствующих теорем (предположительно, [5], [6]) мы получим состоятельную оценку с меньшими временными затратами, чем в изначальном методе.

В дальнейшем планируется разработать такую состоятельную оценку.

## Список литературы

1. Broadie Mark, Glasserman Paul. Pricing American-style securities by simulation // Journal of Economic Dynamics and Control. — 1997. — Vol. 21. — P. 1323–1352.
2. Glasserman Paul. Monte Carlo Methods in Financial Engineering. — Springer, 2004.
3. Broadie Mark, Glasserman Paul. A Sstochastic mesh method for pricing high-dimensional American options // The Journal of Computational Finance. — 2004. — Summer. — Vol. 7, no. 4.
4. Kashtanov Yuri. Stochastic Mesh Method for Optimal Stopping Problem. — 2015.
5. Невзоров Валерий Борисович. Рекорды. Математическая теория. — ФАЗИС, 2000.
6. Zhigljavsky Anatoly, Žilinskas Antanas. Stochastic Global Optimization. — Springer, 2008.